

4. Богданов С. В., Петров Д. В., Яковкин И. Б. Дифракция света на ультразвуковой волне в среде с естественной оптической активностью // Оптика и спектроскопия.— 1976.— 40, вып. 3.
5. Харузи М. С., Фарнелл Ж. М. Дифракция света в несимметричном двуосном кристалле на сдвиговой звуковой волне // ТИИЭР.— 1970.— 58, № 2.
6. Писаревский Ю. В., Сильвестрова И. М. Рассеяние света на упругих волнах в оптически двуосных кристаллах // Кристаллография.— 1973.— 18, вып. 5.
7. Lee H. Acoustooptic light modulation with large bandwidth and angular aperture // IEEE Trans. on Ultrasonics Ferroel. and Freg. Control.— 1987.— UEFC-34.— Р. 485.
8. Сивухин Д. В. Общий курс физики. Оптика.— М.: Наука, 1980.

Поступила в редакцию 24 июня 1988 г.

УДК 621.37 : 535.42 : 534.8

А. С. ЗАДОРИН, С. Н. ШАРАНГОВИЧ  
(Томск)

## ОСОБЕННОСТИ МОДУЛЯЦИИ СВЕТА ЗВУКОМ В ОПТИЧЕСКИ АКТИВНОЙ СРЕДЕ

Управление световыми потоками с помощью звуковых волн находит многочисленные практические приложения в оптических системах связи и обработки информации [1, 2]. Достаточно подробно явление акустооптического взаимодействия (АОВ) в поле модулированного звукового пучка рассмотрено и в теоретическом плане [3—5]. Однако выводы указанных работ применимы для анализа АОВ лишь в кристаллах с линейным двупреломлением света и в изотропных телах. Вместе с тем в элементной базе акустооптики важное место занимают вещества, обладающие оптической активностью (циркулярным двупреломлением) [6]. Специфика АОВ в данных средах обусловлена сравнительной малостью циркулярного двупреломления среды по отношению к величине линейного двупреломления анизотропных кристаллов. В таких условиях любая монохроматическая составляющая звукового пучка может эффективно взаимодействовать с двумя падающими и с двумя дифрагированными ортогонально поляризованными световыми пучками [7]. Следствием указанных особенностей является усложнение частотно-угловой и поляризационной структур дифракционного поля, определяющего модуляционные свойства процесса АОВ. В данной связи представляется естественной предпринятая в данной статье попытка изучения особенностей модуляции света звуком в гиротропной среде в приближении слабого АОВ и обобщения результатов цитированных выше работ.

**Частотно-угловой спектр дифрагированного светового пучка.** Рассмотрим следующую модель. В прозрачной оптически активной среде распространяется квазимонохроматический световой пучок  $E_0(r, t)$ , освещдающий плоский слой с нормалью  $\Gamma$ , диэлектрическая проницаемость  $\epsilon$  которого возмущена модулированным звуковым пучком  $U(r, t)$ . В брэгговском режиме АОВ на выходе возмущенного слоя, кроме прошедшего пучка  $E_0$ , присутствует дифрагированный пучок  $E_1$ , состоящий из двух пучков:  $E_1^+(r, t)$  и  $E_1^-(r, t)$ , которые, как отмечалось ранее, имеют взаимно ортогональные циркулярные векторы поляризации  $e_{1+}$  и  $e_{1-}$ .

Задача состоит в определении амплитуды и поляризации в частотно-угловом спектре (ЧУС) дифрагированного светового пучка. Для ее решения представим взаимодействующие пучки соответствующими ЧУС и дважды применим к волновому уравнению преобразование Фурье по пространственным координатам на плоскости  $\Gamma \cdot r = \text{const}$ , а затем по времени. В результате получим систему уравнений, связывающую между

собой отдельные компоненты ЧУС пучков  $\mathbf{E}_0$ ,  $\mathbf{E}_1$  и  $\mathbf{U}$ . Процедура вывода подобных уравнений подробно описана в [4] при решении аналогичной задачи применительно к средам с линейным двупреломлением света, а также в работе [7], посвященной анализу АОВ в гиротронной среде. Поэтому, опуская промежуточные преобразования, запишем окончательный результат:

$$\frac{d}{dl} E_{m1}^{\beta}(\mathbf{k}_1^{\beta}, l, \omega') = -i \sum_{\alpha=\pm} C_0^{\beta\alpha} U(l) \int_{-\infty}^{\infty} E_{m0}^{\alpha}(\mathbf{k}_0^{\alpha}, l, \omega' - \Omega') F(\Omega') \times \\ \times \exp[-i\Delta K_{\Sigma 1} l] d\Omega'; \quad (1)$$

$$\frac{d}{dl} E_{m0}^{\beta}(\mathbf{k}_0^{\beta}, l, \omega') = -i \sum_{\alpha=\pm} C_1^{\beta\alpha} U^*(l) \int_{-\infty}^{\infty} E_{m1}^{\alpha}(\mathbf{k}_1^{\alpha}, l, \omega' + \Omega') F^*(\Omega') \times \\ \times \exp[i\Delta K_{\Sigma 0} l] d\Omega'. \quad (2)$$

Здесь  $E_{m\gamma}^{\beta}$ ,  $\mathbf{k}_{\gamma}^{\beta}$  ( $\gamma = 0, 1$ ) — амплитуды и волновые векторы спектральных составляющих ЧУС пучков  $\mathbf{E}_{\gamma}$ , поляризованных в направлении циркулярных векторов  $\mathbf{e}_{\beta\gamma}$  ( $\beta = \pm$ ):

$$\mathbf{e}_{\gamma\beta} = (\mathbf{e}_{\gamma 1} + \beta i \mathbf{e}_{\gamma 2}) / \sqrt{2};$$

$\mathbf{e}_{\gamma 1}$ ,  $\mathbf{e}_{\gamma 2}$  — взаимно ортогональные векторы, лежащие в плоскости  $\mathbf{k}_{\gamma}^{\beta} \cdot \mathbf{r} = \text{const}$ ;  $F(\Omega')$ ,  $U(l)$  — частотный спектр и распределение амплитуды по звукового пучка вдоль вектора  $\Gamma$ ;

$$C_{\gamma}^{\beta\alpha} = \frac{(\mathbf{e}_{\gamma\beta}^* \cdot \Delta \hat{\varepsilon} \cdot \mathbf{e}_{\gamma\alpha}) \omega_{\gamma}^2}{(\mathbf{e}_{\gamma\beta}^* \cdot \hat{B}_{\gamma}^{\beta} \cdot \mathbf{e}_{\gamma\beta}) 2c^2}; \quad (3)$$

$$\hat{B}_{\gamma}^{\beta} = 2(\Gamma \cdot \mathbf{k}_{\gamma}^{\beta}) - \Gamma \mathbf{k}_{\gamma}^{\beta} - \mathbf{k}_{\gamma}^{\beta} \Gamma + i(2\alpha' \omega_{\gamma}^2/c^2) \Gamma^{\alpha}; \quad (4)$$

$$\Delta K_{\Sigma\gamma} = (b_0^{\alpha} - b_1^{\beta}) \omega' - b_{1,0}^{\beta\alpha} \Omega' - \Delta K_{\beta\alpha} \quad (5)$$

— обобщенная фазовая расстройка;  $\Delta K_{\beta\alpha} = (\mathbf{k}_0^{\beta} - \mathbf{k}_1^{\alpha} - \mathbf{K}) \cdot \Gamma$  — фазовая расстройка;

$$b_{\gamma}^{\beta} = \frac{(\mathbf{e}_{\gamma\beta}^* \cdot \hat{C}_{\gamma}^{\beta} \cdot \mathbf{e}_{\gamma\beta}) 2\omega_{\gamma}}{(\mathbf{e}_{\gamma\beta}^* \cdot \hat{B}_{\gamma}^{\beta} \cdot \mathbf{e}_{\gamma\beta}) c^2}; \quad (6)$$

$$\hat{C}_{\gamma}^{\beta} = \frac{2\omega_{\gamma}}{c^2} (\hat{\varepsilon} - i2\alpha' \mathbf{k}_{\gamma}^{\beta\alpha}); \quad (7)$$

$\Gamma^{\alpha}$ ,  $\mathbf{k}_{\gamma}^{\beta\alpha}$  — антисимметричные тензоры, дуальные векторам  $\Gamma$  и  $\mathbf{k}_{\gamma}^{\beta}$ ;  $\Delta \hat{\varepsilon}$  — возмущенная часть диэлектрической проницаемости среды;  $\omega_{\gamma}$ ,  $\Omega_0$  — центральные частоты световых и звукового пучков;  $\omega' = \omega - \omega_1$ ,  $\Omega' = \Omega - \Omega_0$  — текущее центрированное значение частоты соответствующих спектров;  $\mathbf{K} = \mathbf{Kq}$ ,  $\mathbf{q}$  — волновой вектор и волновая нормаль спектральной компоненты ЧУС пучка  $\mathbf{U}(\mathbf{r}, t)$ ;  $l$  — координата, отсчитываемая вдоль вектора  $\Gamma$ ;  $\alpha'$  — скалярный параметр гирации [4, 8].

При слабой акустооптической связи изменением амплитуды и спектрального состава пучка  $E_0$  можно пренебречь, т. е.  $E_{m0}^{\alpha}(\mathbf{k}_0^{\alpha}, l, \omega') = E_{m0}^{\alpha}(\mathbf{k}_0^{\alpha}, l=0, \omega')$ . В этом случае (1) легко интегрируется, в результате чего найдем распределение амплитуды и поляризации по ЧУС дифрагированного светового пучка

$$\mathbf{E}_{1\omega} = \sum_{\beta=\pm} E_{1\omega}^{\beta} \mathbf{e}_{1\beta} = \hat{A} \cdot \int_{-\infty}^{\infty} \hat{D} \cdot \mathbf{E}_{0\omega} F(\Omega') d\Omega', \quad (8)$$

где  $\hat{A} = \begin{bmatrix} \exp[ik_0 \gamma_0 l / (\Gamma \cdot \mathbf{N}_1)] & 0 \\ 0 & \exp[-ik_0 \gamma_0 l / (\Gamma \cdot \mathbf{N}_1)] \end{bmatrix} \quad (9)$

— круговая матрица, описывающая естественное вращение плоскости поляризации световых волн в невозмущенной гиротропной среде;  $k_0 = 2\pi/\lambda_0$  — волновое число света в вакууме;  $\gamma_0 = \alpha' k_0$ ;  $\widehat{D} = \begin{bmatrix} f_{--}(l) & f_{-+}(l) \\ f_{+-}(l) & f_{++}(l) \end{bmatrix}$  — круговая матрица, определяющая изменение амплитуды и поляризации ЧУС при АОВ;  $\mathbf{E}_{\gamma\omega} = \sum_{\beta=\pm} E_{\gamma\omega}^{\beta} \mathbf{e}_{\gamma\beta}$  ( $\gamma = 0, 1$ ) — круговые векторы Джонса рассматриваемых компонент ЧУС пучков  $\mathbf{E}_\gamma$ .

Компоненты матрицы  $\widehat{D}$  имеют вид

$$f_{\beta\alpha} = -iC_0^{\beta\alpha} S(\Delta K_{\Sigma 1}) \exp \{ [i(b_0^\alpha - b_1^\beta) \omega' + i(\Delta K_{\Sigma 1}/2 - b_0^\alpha \Omega')] l \}, \quad (10)$$

здесь

$$S(\Delta K_{\Sigma 1}) = \int_{-l/2}^{l/2} U(l) \exp [-i\Delta K_{\Sigma 1} l] dl.$$

Функция  $S(\Delta K)$  совпадает с распределением комплексной амплитуды плоских волн по угловому спектру  $S(\Psi)$ , где  $\Psi$  — угол, характеризующий отклонение парциальной плоской волны от осевой компоненты углового спектра, причем  $\Delta K_{\Sigma 1} = K_0 \Psi$ .

Дальнейшие упрощения (8) — (10) возникают в случае монохроматического пучка  $\mathbf{E}_0$  ( $E_{0\omega} \sim \delta(\omega')$ ), тогда

$$\mathbf{E}_{1\omega}(k_{1r}, l, \omega') = \widehat{A} \cdot \widehat{D} \cdot \mathbf{E}_{0\omega}(k_{0r}) F(\Omega'); \quad (11)$$

$$f_{\beta\alpha} = -iC_0^{\beta\alpha} S(\Delta K_{\Sigma 1}) \exp [-i(b_1^\beta \omega' - \Delta K_{\Sigma 1}/2) l], \quad (12)$$

где  $\omega' = \Omega'$ ;  $\Delta K_{\Sigma 1} = \Delta K_{\alpha\beta} - b_1^\beta \omega'$ ;  $k_{1r}$  ( $\gamma = 0, 1$ ) — параметр, характеризующий положение рассматриваемой плоской волны в угловом спектре соответствующего пучка, численно равный модулю тангенциальной компоненты волнового вектора  $\mathbf{k}_1$  на плоскость, перпендикулярную какой-либо выделенной прямой, например оси ЧУС пучка  $\mathbf{E}_\gamma$  [4, 7]. В последнем случае  $k_{1r}$  можно выразить через угол  $\Theta_\gamma$  между вектором  $\mathbf{k}_1$  и осью пучка  $k_{1r} = |\mathbf{k}_1| \Theta_\gamma$ .

Если акустооптическая связь неэкстремальная, то, как показано в [4], все элементы матрицы  $\widehat{D}$  отличны от нуля. Тогда согласно (8) — (11) любая циркулярная составляющая вектора Джонса  $\mathbf{E}_{0\omega}$  взаимодействует сразу с двумя циркулярными волнами, векторы поляризации которых взаимно ортогональны. Ранее было установлено [7], что значения фазовой расстройки для каждой из этих волн различаются между собой на величину  $\sim 2k_0\gamma_0$ , а направления их волновых нормалей практически совпадают. Поэтому, если функции  $\Delta K(\Omega', \Theta_0)$ ,  $\Theta_1(\Omega', \Theta_0)$  аппроксимировать линейными соотношениями, то зависимость угла  $\Theta_1$  от параметров, характеризующих гиротропные свойства среды ( $\alpha$ ,  $\gamma_0$ ), можно пренебречь, т. е.

$$\Theta_1 = A\Omega' + B\Theta_0; \quad (13)$$

$$\Delta K_{\alpha\beta} = \Delta K' + C\Omega' + D\Theta_0 + E\gamma_0, \quad (14)$$

где  $A$ ,  $B$ ,  $C$ ,  $D$ ,  $E$  — коэффициенты разложения функций  $\Theta_1$ ,  $\Delta K$  в ряд Тейлора, найденные в [4, 7]:

$$\begin{aligned} A &= \frac{\lambda_0 \cos \gamma}{2\pi n v \cos(Q_1 - \gamma)}; \quad B = \frac{\cos(Q_0 + \gamma)}{\cos(Q_1 - \gamma)}; \quad C = \frac{\sin Q_1}{v \cos(Q_1 - \gamma)}; \\ D &= \frac{2\pi n \sin(Q_0 - Q_1)}{\lambda_0 \cos(Q_1 - \gamma)}; \quad E = \beta(1 - \alpha\beta) \frac{2k_0}{\cos(Q_0 + \gamma)}; \end{aligned} \quad (15)$$

$\alpha$ ,  $\beta = \pm$  — циркулярные индексы;  $\Delta K'$  — фазовая расстройка при  $\Theta_0 = 0$ ,  $\Omega' = 0$ ;  $\gamma$  — угол сноса звукового пучка;  $Q_0$ ,  $Q_1$  — углы падения и дифракции центральных составляющих угловых спектров соответственно падающего  $\mathbf{E}_0$  и дифрагированного  $\mathbf{E}_1$  световых пучков.

Формулы (11)–(15) позволяют установить частотный спектр любой компоненты углового спектра дифрагированного пучка. Действительно, выразив в (13) угол  $\Theta_0$  через  $\Theta_1$  и подставив результат в (11), (12), получим

$$\mathbf{E}_{1\omega}(\Theta_1, l, \Omega') = \widehat{\mathbf{A}} \cdot \widehat{\mathbf{D}} \cdot \mathbf{E}_{0\omega}(\Theta_1/B - A\Omega'/B) F(\Omega'); \quad (16)$$

$$f_{\beta\alpha} = -iC_0^{\beta\alpha}S \left[ E\gamma_0 + \Delta K' + \frac{D}{B}\Theta_1 + \left(C - \frac{AD}{B} - b_1^\beta\right)\Omega' \right] \times \\ \times \exp[-i(b_1^\beta\Omega' - (\delta + E\gamma_0)/2)l]. \quad (17)$$

Коэффициенты  $C_0^{\beta\alpha}$  в (17) можно представить в более привычном виде, выразив их через циркулярные коэффициенты акустооптического качества  $M_2^{\beta\alpha}$ , мощность  $P_a$  и геометрические размеры ( $L, H$ ) звукового излучателя [7]. Тогда

$$f_{\beta\alpha} = -i\frac{k_0}{2} \sqrt{\frac{\cos\varphi_0 L P_a}{\cos\varphi_1 H} M_2^{\beta\alpha}} S [\delta + E\gamma_0] \exp[-i(b_1^\beta\Omega' - (\delta + E\gamma_0)/2)l], \quad (18)$$

где

$$l = L \cos\gamma; b_1 = n/c \cos\varphi_1; \varphi_1 = Q_1 \pm \gamma; \delta = \Delta K' + \frac{D}{B}\Theta_1 + \\ + \left(C - \frac{AD}{B} - b_1^\beta\right)\Omega'.$$

В случае монохроматического поля  $E_0$  с равномерным распределением амплитуды по угловому спектру, ширина которого превышает величину угловой селективности АОВ, определяемой функцией  $S[\delta + E\gamma_0]$ , формулы (16)–(18) описывают передаточную функцию (ПФ) АОВ. Другим важным показателем модулятора является его частотная характеристика (ЧХ). Из приведенных формул видно, что в рассматриваемом случае ЧХ есть векторная функция, равная произведению матрицы  $\widehat{\mathbf{D}}$  на нормированный вектор Джонса падающего светового поля. Согласно (16), (17) форма ЧХ определяется распределением взаимодействующих полей по угловым спектрам звука и света. Однако в отличие от оптически анизотропных кристаллов формы ЧХ и ПФ в гиротропной среде зависят от состояния поляризации пучка  $\mathbf{E}_0$ , которое легко формируется и управляется различными внешними устройствами, например поляризационными призмами.

Применив далее к (16), (18) обратное преобразование Фурье по времени, несложно установить вид модулирующей функции и ее изменение в пределах углового спектра поля  $E_1$ .

**Преобразование поляризации дифрагированного пучка.** Как известно, эллиптичность  $(b/a)$  и азимутальный угол  $\kappa$  эллипса поляризации фурье-компоненты  $\mathbf{E}_{1\omega}$  определяются отношением комплексных амплитуд ее циркулярных составляющих

$$\xi = (\mathbf{E}_{1\omega} \cdot \mathbf{e}_{1+}^*) / (\mathbf{E}_{1\omega} \cdot \mathbf{e}_{1-}^*), \quad (19)$$

формулами [8]

$$(b/a) = (|\xi| - 1) / (|\xi| + 1); \quad (20)$$

$$\kappa = -0,5 \arg(\xi). \quad (21)$$

С помощью (16)–(19) находим функцию, связывающую параметры  $\xi$  взаимодействующих световых пучков, т. е. поляризационную передаточную функцию (ППФ):

$$\xi_1 = (T_{22}\xi_0 + T_{21}) / (T_{12}\xi_0 + T_{11}), \quad (22)$$

где  $T_{ij}$  — элементы круговой матрицы Джонса АОВ:  $\widehat{\mathbf{T}} = \widehat{\mathbf{A}} \cdot \widehat{\mathbf{D}}$ .

На основании общих свойств билинейной зависимости (22) можно сделать ряд общих заключений о закономерностях преобразования поляризационных параметров при АОВ. Так, ППФ (22) преобразует окружность на плоскости  $\xi_0$  в окружность на плоскости  $\xi_1$ , а линии постоянной эллиптичности и азимута остаются при АОВ взаимно ортогональными. Кроме того, соотношение (22) указывает на существование двух собственных состояний поляризации АОВ ( $\xi_1^*$  и  $\xi_2^*$ ), которые сохраняются при взаимодействии парциальных волн пучков  $E_0$  и  $E_1$ , т. е.

$$\xi_1(\xi_0 = \xi_{1,2}^*) = \xi_{1,2}^*. \quad (23)$$

параметры  $\xi_i^*$ ,  $\xi_1$ . Рассмотрим, например, эволюцию эллиптичности и азимута поляризации по ЧУС  $E_{1\omega}$  для произвольного распределения  $U(l)$ , если падающий пучок света поляризован линейно с начальным азимутом  $\alpha_0$ . Предварительно угловой спектр звукового пучка представим в виде

$$S(\Psi) = |S(\Psi)| \exp[i\Phi(\Psi)],$$

где  $\Phi(\Psi)$  — распределение фазы по угловому спектру  $S(\Psi)$ . В рассматриваемой модели звуковой пучок совмещен с началом координат. Поэтому разложение  $\Phi(\Psi)$  в ряд Тейлора не может содержать линейного члена. Подставляя далее (18) в (19) — (21), получим

$$\kappa = -0,5 \operatorname{arctg}(a_0/b_0), \quad (25)$$

$$(b/a) = (a_1 - b_1)/(a_1 + b_1). \quad (26)$$

Здесь  $\begin{Bmatrix} a_0 \\ b_0 \end{Bmatrix} = M_{2H} |S(\delta)|^2 \begin{Bmatrix} \sin \\ \cos \end{Bmatrix} (-2\rho_1 l - 2\kappa_0) + M_{2a} |S(\delta - 2\rho_0)| \times$   
 $\times |S(\delta + 2\rho_0)| \begin{Bmatrix} \sin \\ \cos \end{Bmatrix} (\Phi(\delta - 2\rho_0) - \Phi(\delta + 2\rho_0) + 2\kappa_0) +$   
 $+ \sqrt{M_{2H} M_{2a}} |S(\delta)| \left\{ |S(\delta + 2\rho_0)| \begin{Bmatrix} \sin \\ \cos \end{Bmatrix} (\Phi(\delta) - \Phi(\delta + 2\rho_0) - \rho_1 l) - \right.$   
 $- |S(\delta - 2\rho_0)| \begin{Bmatrix} \sin \\ \cos \end{Bmatrix} (\Phi(\delta - 2\rho_0) - \Phi(\delta) - \rho_1 l) \right\};$   
 $\begin{Bmatrix} a_1 \\ b_1 \end{Bmatrix} = \{M_{2H} |S(\delta)|^2 + M_{2a} |S(\delta \mp 2\rho_0)|^2 +$   
 $+ 2\sqrt{M_{2H} M_{2a}} |S(\delta)| \times |S(\delta \mp 2\rho_0)| \cos(\rho_1 l + 2\kappa_0 \mp \Phi(\delta) \pm \Phi(\delta - 2\rho_0))\}^{1/2};$   
 $\rho_{0,1} = \gamma_0 k_0 / \cos \varphi_{0,1}; M_{2H} = M_2^{\alpha\alpha}, M_{2a} = M_2^{\alpha\beta} (\alpha \neq \beta)$  — коэффициенты АО качества, определяющие дифракционную активность среды при АОВ световых волн соответственно с параллельными и ортогональными ( $\alpha \neq \beta$ ) циркулярными векторами поляризации [7]. В явлении дифракции света на звуке в гиротронной среде можно выделить три режима: нормальное, аномальное и смешанное АОВ. В первых двух режимах дифракционная активность среды обусловлена соответственно коэффициентами  $M_{2H}$  и  $M_{2a}$ , а в третьем — обоими коэффициентами сразу.

Наиболее простой вид ППФ имеет при сильной угловой селективности АОВ, когда величина удельного вращения среды  $\rho = \gamma_0 k_0$  превышает ширину углового спектра звукового пучка —  $\rho > K_0 \Delta \Psi$ . В этом случае в зависимости от режима дифракции два или три элемента мат-

рицы Джонса  $\tilde{D}$  близки к нулю. Действительно, согласно (18) величина компонент  $\tilde{D}$  дается произведением коэффициентов  $M_2^{\alpha\beta}$  на функцию  $S(\delta, \alpha, \beta)$ , определяющую угловую селективность АОВ. Аргументы данной функции для диагональных компонент матрицы  $\tilde{D}$  совпадают, а для недиагональных — различаются на  $2\rho$ . Отсюда следует, что в указанных условиях возможны лишь два режима дифракции — нормальное или аномальное АОВ. Нормальное АОВ характеризуется диагональной матрицей Джонса с равными компонентами. Соответствующее ей билинейное преобразование (22) вырождается в линейное:

$$\xi_1 = \frac{T_{11}}{T_{22}} \xi_0 = \left[ \frac{M_2^{++}}{M_2^{--}} \right]^{1/2} \exp(-i2\rho_1 l) \xi_0 \simeq \xi_0 \exp(-i2\rho_1 l). \quad (27)$$

Величина эллиптичности при этом в пределах области АОВ сохраняется постоянной, а азимутальный угол изменяется по линейному закону  $\chi = \chi_0 + \rho_1 l$ . В режиме аномальной дифракции матрица  $\tilde{T}$  имеет единственный отличный от нуля элемент  $T_{\alpha\beta}$  ( $\alpha \neq \beta$ ) и нулевой детерминант. В этом случае преобразование (22) уже не является конформным и приближается к ППФ идеального циркулярного поляризатора [8]. Заметим, что согласно (17), (18) матрица  $\tilde{T}$  может иметь особенность и при смешанном АОВ. Соответствующие значения  $\Omega'$  и  $\Theta_1$ , обращающие в нуль детерминант матрицы  $\tilde{T}$ , находятся из уравнения

$$\frac{M_{2H}}{M_{2a}} = \frac{|S(\delta + 2\rho_0)| |S(\delta - 2\rho_0)|}{|S(\delta)|^2} \exp[i(\Phi(\delta + 2\rho_0) - \Phi(\delta - 2\rho_0) - 2\Phi(\delta))], \quad (28)$$

$$\text{при этом } \left( \frac{b}{a} \right) = \frac{\sqrt{M_{2H}} |S(\delta)| - \sqrt{M_{2a}} |S(\delta + 2\rho_0)|}{\sqrt{M_{2H}} |S(\delta)| + \sqrt{M_{2a}} |S(\delta + 2\rho_0)|}; \quad (29)$$

$$\chi = -0,5 [\Phi(\delta) - \Phi(\delta + 2\rho_0) - \rho_1 l]. \quad (30)$$

Поляризационные параметры дифрагированного пучка легко определяются и в особенно важном с практической точки зрения случае АОВ с экстремальной акустооптической связью, когда два из четырех коэффициентов  $M_2^{\alpha\beta}$  матрицы Джонса обращаются в нуль [7]. Так, при  $M_{2a} = 0$  ППФ согласно (18), (22) определяется формулой (27). В данной ситуации все составляющие ЧУС пучка  $E_1$  имеют одипаковые значения ( $b/a$ ) и  $\chi$ . Если же  $M_{2H} = M_2^{\alpha\alpha} = 0$ , то ППФ описывается инверсным преобразованием

$$\xi_1 = \frac{|S(\delta - 2\rho_0)|}{|S(\delta + 2\rho_0)|} \frac{\exp(i\xi)}{\xi_0}. \quad (31)$$

Здесь  $\xi$  с точностью  $\sim Q_0^2$  равна относительной разности фаз компонент  $T_{21}$  и  $T_{12}$ , т. е.

$$\xi = \Phi(\delta - 2\rho_0) - \Phi(\delta + 2\rho_0). \quad (32)$$

Ввиду нелинейности  $\Phi(\delta)$  величина  $\xi$  однозначно связана с  $\delta$ . Соответственно и азимутальный угол  $\chi = -\xi/2 - \chi_0$  оказывается зависящим от  $\xi$  и изменяется в пределах ЧУС пучка  $E_1$  по закону (32). Данный вывод может служить обоснованием метода экспериментального измерения распределения фазы по угловому спектру звукового поля. Величина эллиптичности отдельных составляющих ЧУС пучка  $E_1$

$$\left( \frac{b}{a} \right) = \frac{|S(\delta - 2\rho_0)| - |\xi_0| |S(\delta + 2\rho_0)|}{|S(\delta - 2\rho_0)| + |\xi_0| |S(\delta + 2\rho_0)|} \quad (33)$$

также зависит от  $\delta$ . Однако при слабой угловой селективности АОВ, когда  $\Delta\Psi \gg \rho/K$ ,  $(b/a)$  остается практически постоянной по всему угло-

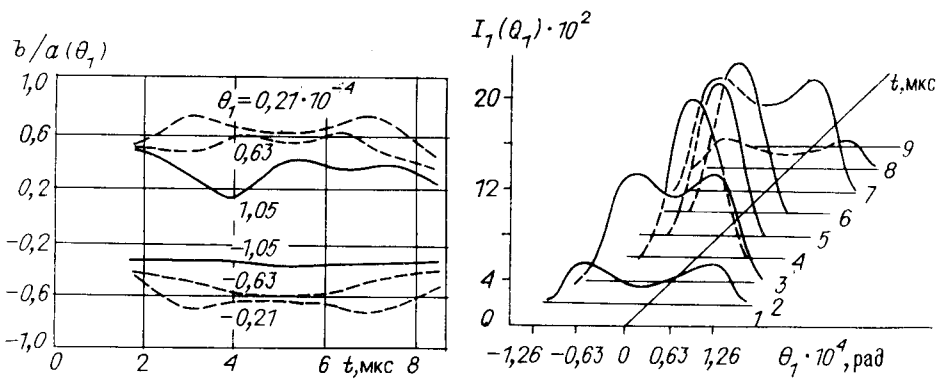


Рис. 1. Зависимость эллиптичности  $b/a$  различных угловых компонент дифрактированного пучка  $E_1$  от времени  $t$

Рис. 2. Эволюция углового спектра дифрагированного пучка во времени при аномальном АОВ в поле ультразвукового импульса

вому спектру пучка  $E_1$  и отличается от эллиптичности падающего пучка только знаком. В случае  $\Delta\Psi < \rho/K$  зависимость величины  $(b/a)$  от  $\delta$  может быть весьма существенной. Это хорошо видно на рис. 1, на котором приведена зависимость  $(b/a)$  от  $t$  для различных угловых компонент пучка  $E_1$ . Соответствующее изменение углового распределения относительной интенсивности  $I_1(\Theta_1)$  пучка  $E_1$  во времени показано на рис. 2. Для вычисления указанной зависимости численным интегрированием было найдено фурье-преобразование по времени от циркулярных составляющих  $E_{1\omega}^+$  и  $E_{1\omega}^-$ , определенных в (16)–(18), а затем рассчитывались  $(b/a)$  по формуле (20), где  $\xi = E_1^+(\Theta_1, t)/E_1^-(\Theta_1, t)$  и  $I_1(\Theta_1, t) = |E_1^+(\Theta_1, t)|^2 + |E_1^-(\Theta_1, t)|^2$ . Расчет проведен для АО-модулятора, использующего аномальную дифракцию линейно-поляризованного гауссова пучка с апертурой  $\omega_0 = 3$  мм, центр которого расположен на расстоянии 4,1 мм от преобразователя, возбуждающего ультразвуковой импульс с прямоугольной огибающей длительностью  $r = 5$  мкс в  $X$ -срезе кристалла  $\text{Bi}_{12}\text{SiO}_{20}$ , применяемого в качестве светозвукопровода ( $M_{2n} = 0$ ,  $M_{2a} = 0,73 \cdot 10^{-15} \text{ с}^3/\text{кг}$ ,  $v = 1,65 \cdot 10^3$  м/с,  $L = 7$  мм,  $\alpha_0 = 0^\circ$ ,  $\lambda_0 = 0,63$  мкм). Отсчет времени в расчете и на рис. 1, 2 взят с момента поступления фронта ультразвукового импульса в светозвукопровод. Расчетные данные рис. 1, 2 иллюстрируют особенности переходного процесса при модуляции света звуком в гиротропной среде, заключающиеся в изменении поляризационных параметров по угловому спектру дифрактированного пятна и его формы во времени, в образовании двух максимумов в распределении  $I_1(\Theta_1)$  и в их смещении по угловому спектру. Следует также отметить, что подобные расчеты проводились для смешанного и нормального режимов АОВ. В частности, при  $\Delta\Psi < \rho/K$  смешанное АОВ характеризуется более сложными зависимостями  $(b/a)(\Theta_1)$ ,  $I_1(\Theta_1)$  и  $\alpha(\Theta_1)$  от времени. Например, при прежних параметрах АОВ и  $M_{2n}$ ,  $M_{2a} \neq 0$  для зависимости  $I_1(\Theta_1)$  во время переходного процесса характерно наличие трех максимумов. Наконец, для нормального АОВ, аномального и смешанного АОВ при  $\Delta\Psi > \rho/K$  характер модуляции света звуком в гиротропной среде аналогичен описанному в [3–5].

#### СПИСОК ЛИТЕРАТУРЫ

1. Кулаков С. В. Акустооптические устройства спектрального и корреляционного анализа сигналов.—Л.: Наука, 1978.
2. Гуляев Ю. В., Проклов В. В., Шкердин Г. И. Акустооптические устройства управления электромагнитным излучением // Проблемы современной радиотехники и электроники.—М.: Наука, 1980.

3. Пуговкин А. В. К теории брэгговских акустооптических анализаторов спектра // Автометрия.— 1981.— № 3.
4. Задорин А. С., Шандаров С. М., Шарангович С. Н. Акустические и акустооптические свойства монокристаллов.— Томск: ТГУ, 1987.
5. Балакпий В. И., Парыгин В. П., Чирков Л. Е. Физические основы акустооптики.— М.: Радио и связь, 1985.
6. Блистанов А. А., Бондаренко В. С., Чкалова В. В. и др. Акустические кристаллы: Справочник/Под ред. М. П. Шаскольской.— М.: Наука, 1982.
7. Задорин А. С., Шарангович С. Н. Дифракция света на звуковом пучке в кристаллах с циркулярным двупреломлением при экстремальной акустооптической связи // Изв. вузов. Радиофизика.— 1988.— 31, № 2.
8. Аззам Р., Башара Н. Эллипсометрия и поляризованный свет.— М.: Мир, 1981.

*Поступила в редакцию 8 августа 1988 г.*

---